

層序地質学

第7回 地磁気層序と化学層序

岩相・化石層序と放射年代は地球史を復元するための両輪。

岩相・層序
堆積物の重なり方+化石情報
放射年代
岩石鉱物・地層の形成年代

地球史
テクトニクス・気候変動
・生命進化・絶滅

地磁気層序
グローバルな磁気極性の変化・その場の緯度情報

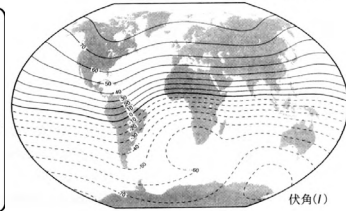
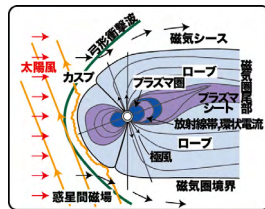
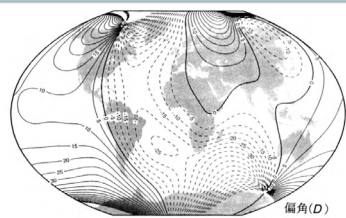
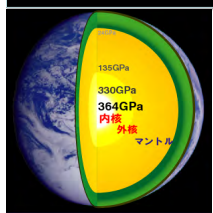
化学層序
グローバルな物質循環情報・ローカルな環境情報

しかし、その他にも重要な情報を提供する「層序」がある。

地磁気層序: 地層や岩石が保有する形成時の磁気情報

化学層序: 地層の化学成分・同位体成分は保有する環境情報

地磁気層序



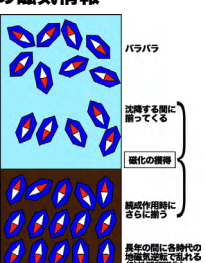
古地磁気とは

岩石や地層に残留磁化として、残される過去の磁気情報

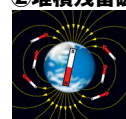
①熱残留磁化 (キュリー温度)

マグネットайт: 575°C
チタノマグнетайт: 200-400°C
(マグマから晶出するTiを含むマグネタイト)

鉱物自体が磁化される



②堆積残留磁化

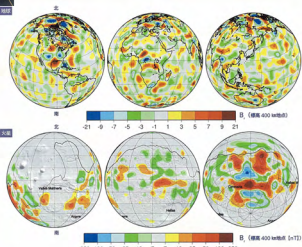
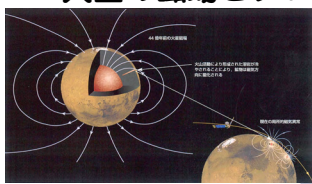


磁化された鉱物が配向⇒



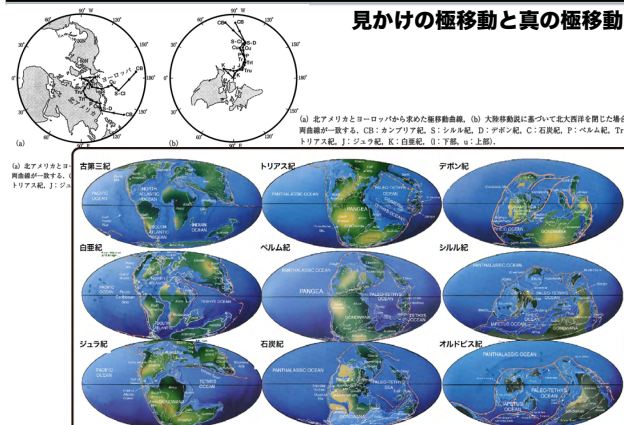
- ①古地磁気の伏角から過去の緯度が分かる
(古地理図を作る時の有力な証拠)
- ②水平面上の成分から過去の磁気極性が分かる
(どっちがN極か?)
- ③磁場強度

火星の磁場とプレートテクトニクス

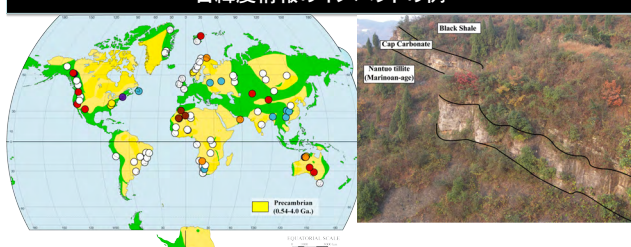


偏角の情報: 古緯度→大陸移動や全球凍結モデル

見かけの極移動と真の極移動



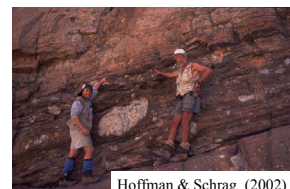
古緯度情報のインパクトの例



約6億5千万年前には高緯度～低緯度まで氷河性堆積物が広く発達

↓

全球凍結!

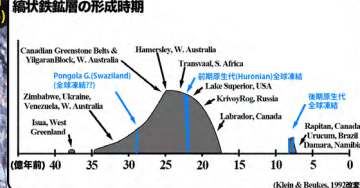


Hoffman & Schrag, (2002)

全球凍結により海洋循環が停止: 縞状鉄鉱層の堆積

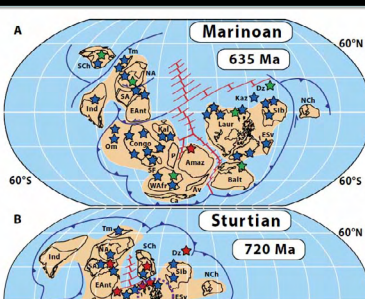


縞状鉄鉱層の形成時期



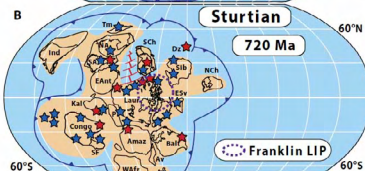
還元的な(Fe²⁺に富む)海水が間欠的に表層近くの酸化的な水と反応するとFe³⁺になり、 Fe(OH)_3 や FeO(OH) で沈殿

全球凍結時の古地理



Hoffman et al. (2017)

各地の古地磁気データ(緯度情報)から、氷河堆積物の多くが低緯度地域にあることが確認された。



★ 氷河堆積物

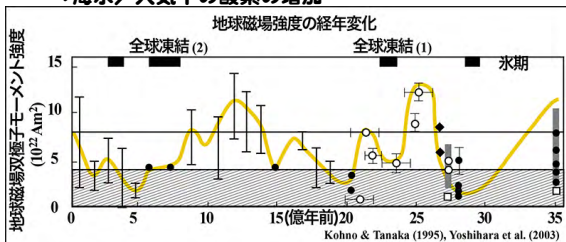
★ 後氷期金属鉱床

★ 後氷期バライト

クリオゲニア紀には地球は二度凍結した。

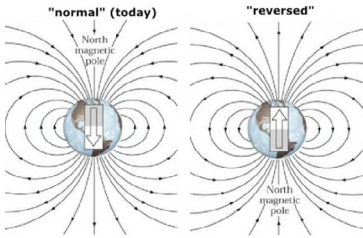
地球磁場強度の経年変化

浅海域に大規模に光合成生物(シアノバクテリア)が出現
→海水/大気中の酸素の増加



- ①内核の誕生
- ②表層での生物活動

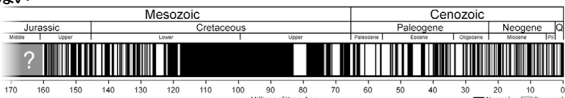
地磁気の逆転



地球の中心に棒磁石があるとする。棒磁石の極性は数10万年[1回]の割合で逆転する。これを反映して岩石や地層に残される地磁気水平成分の方向も逆転する。

地磁気逆転のプロセスについては良く理解されていない

地磁気逆転には一時的に磁場が弱くなり、宇宙線照射量が激増し、生態系に大きな影響を与えるという説もある。しかし、地磁気逆転現象と大量絶滅の間には因果関係はない



環境(気候)の周期(地球磁場の変動)

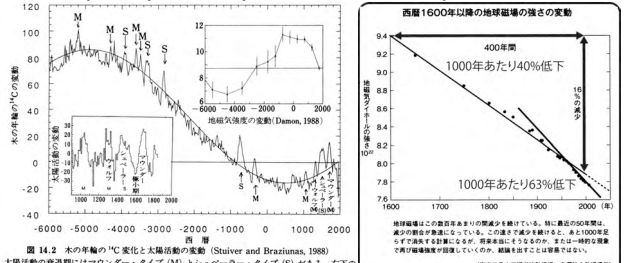
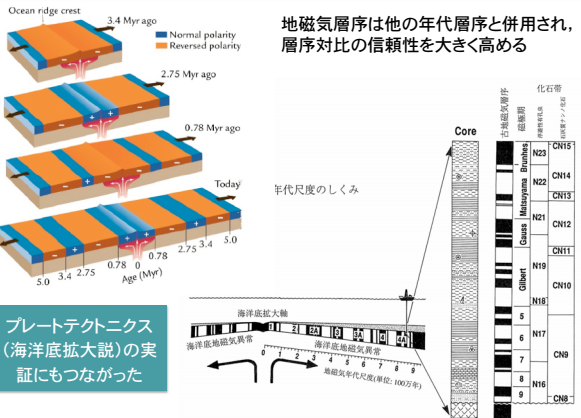


図 14.2 木の輪の¹⁴C変化と太陽活動の変動 (Stuiver and Braziunas, 1988)

太陽活動の変動期間にはマウンテン・タイブ(M)とシェーブラー・タイブ(S)がある。右下の太陽活動の変動曲線は木の年齢の¹⁴Cを基に補正を施してある。

(東京工業大学理学活動機構・寺澤敏夫教授)

地磁気層序学

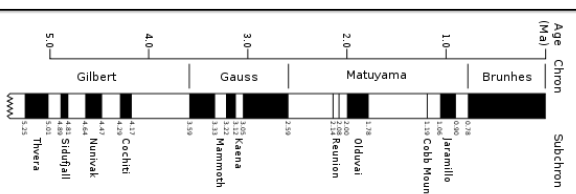


プレートテクトニクス
(海洋底拡大説)の実証にもつながった

松山基範(1884~1958年)



1918年: 京都帝国大学大学院で博士学位取得
1922年: 同理工科大学地質学鉱物学科第一講座(理論地質学講座)教授
1929年: 地球磁場の反転説を世界で初めて唱えた。世界の学界からはほぼ無視
1950年代: イギリスを中心として古地磁気学が大きく発展し、磁場反転は認められることになった。これを初めて提唱した功績により、地質時代で最後の逆磁極期(249万~72万年前)は松山逆磁極期と名付けられた。ちなみに一つ古い時期はガウス正磁極期と呼ばれる。



松山逆磁極期 (Matuyama Chron)には対比に有効ないくつかの正磁極期も含まれる。

古地磁気層序(ジュラ紀以降)

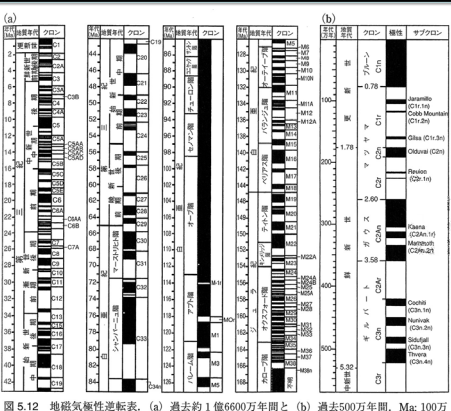


図 5.12 地磁気層序変遷図。(a) 過去約1億6600万年間と(b) 過去500万年間 Ma: 100万年前(小玉一「古地磁気」東京大学出版会, 1999)

化学層序とは

層序記録中に残されている元素・同位体組成を用いて、層序対比やグローバルな環境変動を議論する層序学の分野

化学層序に向いている元素・同位体の条件

- 堆積物の性質によって影響されない
- 環境変動や環境条件の影響を受けやすい(滞留時間がある程度短い)
- 均一になりやすい(滞留時間がある程度長い)
- 海水の組成を反映している

向いている
Sr同位体・炭素同位体・
酸素同位体など

様々な元素で化学層序が試みられているが、何でも良いわけでもない。

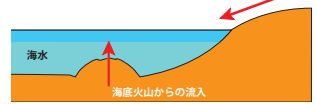
滞留時間(Na)を例にして

$$\begin{aligned} \text{海水中的總量} &= \text{海水の總量} \times \text{海水のNa}^+ \text{濃度} \\ &= 1.37 \times 10^{21} \times 470 \times 10^{-3} = 644 \times 10^{18} \text{ mol} \\ \text{海洋の全体積} &= 1.37 \times 10^{21} \text{ L} \\ \text{河川水の年間流入量} &= 3.6 \times 10^{16} \text{ L/年} \\ \text{滞在時間} &= 644 \times 10^{18} \div (8.28 \times 10^{12}) = 78 \times 10^6 \text{ 年} \\ &= 1.37 \times 10^{21} \div (3.6 \times 10^{16}) = 3.6 \times 10^4 \text{ 年} \end{aligned}$$

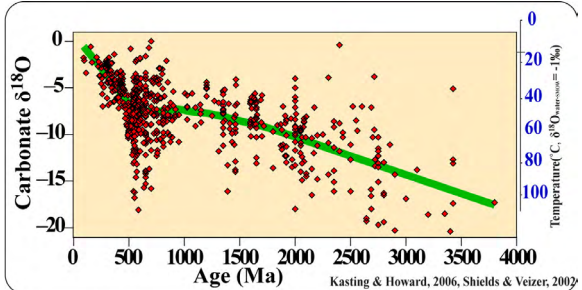
仮定: 海水中的Na⁺は主に河川水からくる

海水は定常状態にある

$$\begin{aligned} \text{流入量} &= \text{河川の流入量} \times \text{河川のNa}^+ \text{濃度} \\ &= 3.6 \times 10^{16} \times 0.23 \times 10^{-3} = 8.28 \times 10^{12} \text{ mol/年} \end{aligned}$$



Carbonateの酸素同位体と温度



(0) 昔は海水温が高かった?

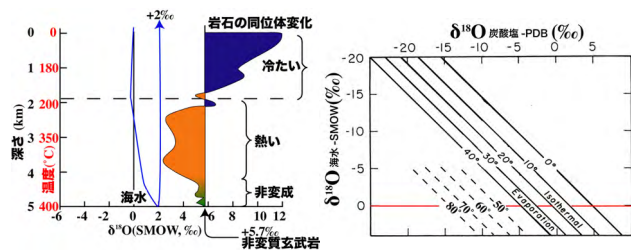
(1) 海水の酸素同位体の経年変化?

(Veizer et al., 1999; Wallmann, 2001)

⇒海洋地殻の酸素同位体(Muehlenbachs 1998など)

(2) 炭酸塩の二次的な酸素同位体移動

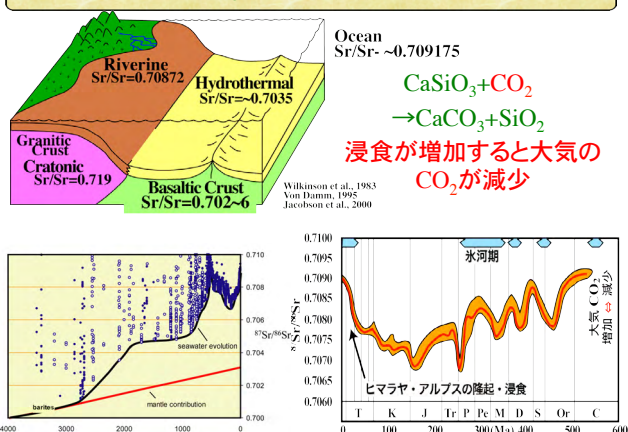
海水の酸素同位体比の経年変化?



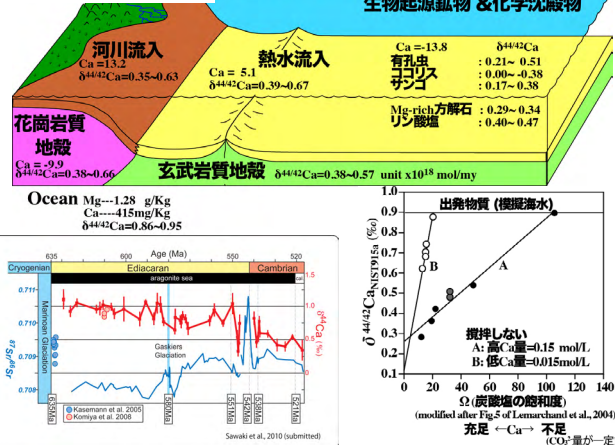
熱水場から現在よりも低い同位体比を持つ大量の熱水が噴出、海水の同位体比をより低く。

←マントルの温度が高いため、熱い玄武岩地殻が中央海嶺で形成されたから

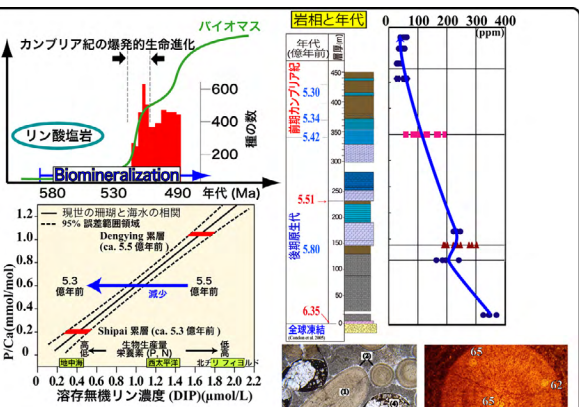
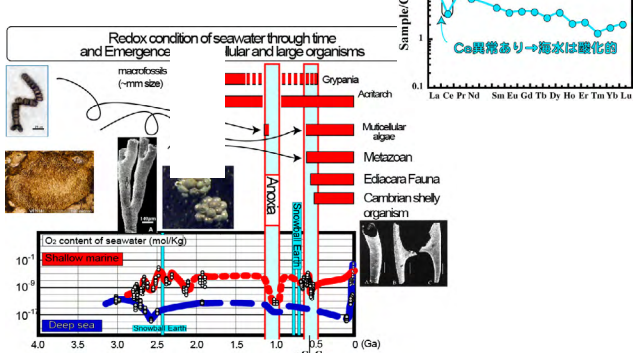
海水のSr同位体進化



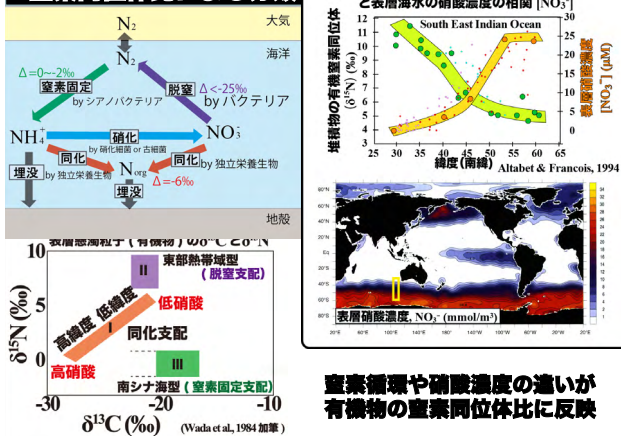
Ca同位体と分別プロセス



海水が酸化的だと、
→負のCe異常
 $\text{Ce} + \text{O}_2 \rightarrow \text{CeO}_2 \downarrow$



窒素同位体比による分類



窒素循環や硝酸濃度の違いが
有機物の窒素同位体比に反映

動物出現・進化の3ステップ新仮説

- (1) 遺伝子異常(8~9億年前)
-外的要因による遺伝子異常の蓄積?
-ゲノム複数酸素の増加による?
-世界中の海水の硝酸濃度の相間
- (2) 動物出現期(6億年前)
-還元的・高栄養塩(P, Fe)海洋下での
-全球RNA, DNA(核酸)の増加~
- (3) カンブリア紀の大爆発(約5.2億年前)
-酸素化した海水(N, Ca)海洋下
での多様化的発現
-酸素の増加と
環境変化への順応~

海水酸化遷元と海水栄養塩濃度変動

